



DEPARTAMENTO DE
**INGENIERÍA
MECÁNICA**
UNIVERSIDAD DE SANTIAGO DE CHILE

Resistencia de materiales

Torsión

Matías Pacheco Alarcón & Estefano Muñoz Moya

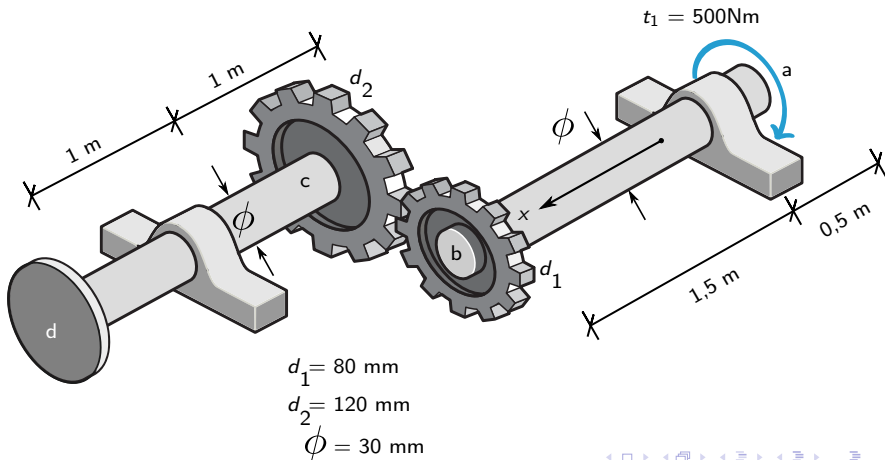
Universidad de Santiago de Chile
Facultad de Ingeniería - Departamento de Ingeniería Mecánica
Av. Bdo. O'Higgins 3363 - Santiago - Chile
e-mail: matias.pacheco@usach.cl & estefano.munoz@usach.cl

INGENIERÍA MECÁNICA
4 de diciembre de 2020

Torsión con engranes:

Se tiene un sistema de engranes rígidos acoplados a partir de dos ejes de diámetro 30 [mm]. Ambos ejes son de acero ($E=200[\text{GPa}]$ y $\nu=0,27$), el eje \overline{ab} cuenta con un momento torsor aplicado de $t_1 = 500$ [Nm] y el eje cd se encuentra empotrado en d .

- Realice el diagrama de momento torsor y obtenga esfuerzo de corte máximo en el eje \overline{ab} .
- Determine el ángulos de torsión $\theta_{c/a}$ y $\theta_{c/d}$



Torsión con engranes:

Primero se calcula el módulo de corte y el momento de inercia, de la forma:

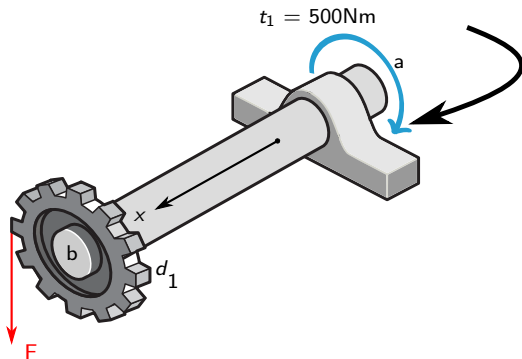
$$E = 200[\text{GPa}] \quad \nu = 0,27 \quad \rightarrow \quad G = \frac{E}{2(1 + \nu)} = 78,74[\text{GPa}] \quad (1)$$

Ahora se puede calcular la inercia polar de ambos ejes:

$$J = \frac{\pi}{32} \cdot \phi^4 = 7,95 \cdot 10^{-8}[\text{m}^4] \quad (2)$$

Torsión con engranes:

Se realiza el diagrama de cuerpo libre del eje \overline{ab} :



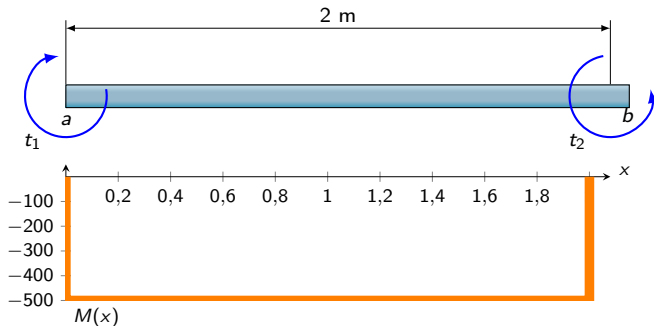
Para que el sistema esté en equilibrio, la fuerza de reacción debe equilibrar el momento torsor, de la forma:

$$\sum M = 0 :$$

$$t_f = F \cdot d_1 = t_1 \quad \rightarrow \quad F = 6250[\text{N}] \quad (3)$$

Torsión con engranes:

Entonces, el diagrama de momento torsor del eje \overline{ab} queda:



y el esfuerzo cortante máximo es:

$$\tau_{max} = \frac{t_1 \cdot \phi}{2 \cdot J} = 94,3 [MPa] \quad (4)$$

Torsión con engranes:

Para determinar los ángulos de torsión $\theta_{c/a}$ y $\theta_{c/d}$, en primer lugar es necesario calcular el ángulo de torsión desde **a** hasta **b**:

$$\theta_{b/a} = \frac{t_1 \cdot 2}{J \cdot G} = 0,1597 \text{ rad} \quad (5)$$

Luego, para llegar al punto **c** se deben relacionar los arcos de desplazamiento angular de cada engrane, los cuales son iguales entre sí, pero varían su rotación según el radio:

$$\theta_1 \cdot d_1 = \theta_2 \cdot d_2$$

Así:

$$\theta_{c/a} = \theta_{b/a} \cdot \frac{d_1}{d_2} = 0,1065 \text{ rad} \quad (6)$$

Realizando la conversión a grados:

$$\theta_{c/a} \cdot \frac{180^\circ}{\pi \text{ rad}} = 6,1^\circ \quad (7)$$

Torsión con engranes:

Ahora se determina el ángulo de torsión $\theta_{c/d}$:

$$\theta_{c/d} = \frac{t_2 \cdot 2}{J \cdot G} = 0,2396 \text{ rad} \quad (9)$$

Realizando la conversión a grados:

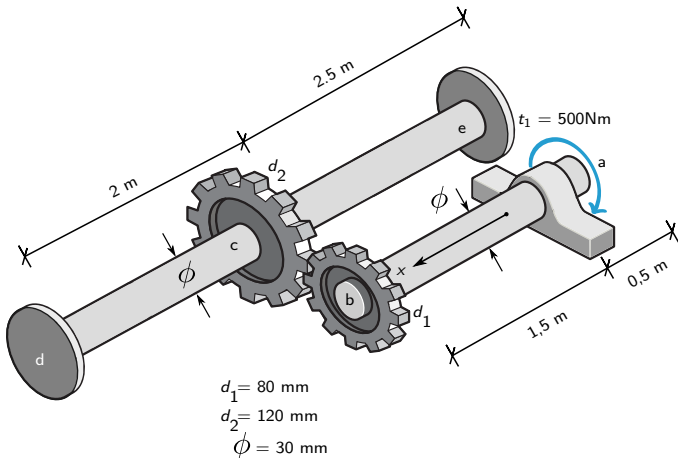
$$\theta_{c/d} \cdot \frac{180^\circ}{\pi \text{ rad}} = 13,7^\circ \quad (10)$$

Debido a que el punto **d** se encuentra empotrado, el ángulo percibido es menor a $\theta_{c/a}$, debido a que **a** también se encuentra girando.

Torsión con engranes y doble empotramiento:

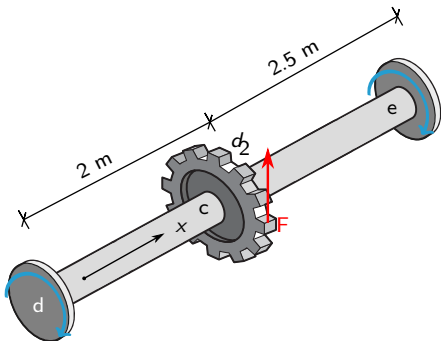
Si ahora el eje cd se encuentra doble empotrado en **d** y **e**:

- Realice el diagrama de momento torsor y obtenga esfuerzo de corte máximo en el eje \overline{de} .
- Determine el ángulos de torsión $\theta_{c/d}$ y $\theta_{c/e}$



Torsión con engranes y doble empotramiento:

Como el diagrama de cuerpo libre el eje \overline{ab} se realizó anteriormente, el resultado de la fuerza será el mismo debido a la condición de equilibrio, por lo tanto, se realiza el diagrama de cuerpo libre del eje \overline{de} :



Para que el sistema esté en equilibrio, el empotramiento genera un momento torsor de la forma:

$$\sum M = 0 :$$

$$F \cdot d_2 = t_d + t_e \quad \rightarrow \quad t_d + t_e = 750[\text{Nm}] \quad (11)$$

Torsión con engranes y doble empotramiento:

Debido a que nos encontramos en una situación hiperestática, es necesario contar con una nueva ecuación para resolver el problema. Considerando que en los puntos **d** y **e** el eje se encuentra empotrado, no existe una deformación en esas zonas, tampoco un ángulo de giro, por lo tanto, considerando un ángulo de giro nulo en los extremos, se tiene:

$$\theta_{e/d} = \theta_{e/c} + \theta_{c/d} = 0$$

Así:

$$\theta_{e/c} + \theta_{c/d} = \frac{t_e \cdot 2,5}{J \cdot G} - \frac{t_d \cdot 2}{J \cdot G} = 0 \quad (12)$$

Por lo tanto, ahora se tiene un sistema de ecuaciones para determinar cada momento torsor:

$$\begin{cases} 750 & = t_d + t_e \\ 0 & = t_e \cdot 2,5 - t_d \cdot 2 \end{cases} \quad (13)$$

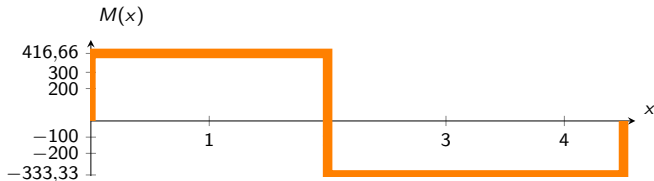
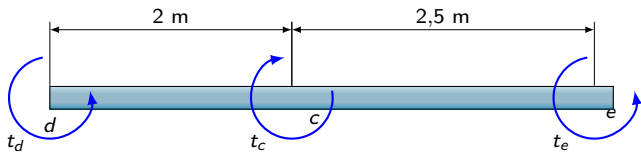
De esta forma se tiene:

$$t_e = 333,3[Nm] \quad (14)$$

$$t_d = 416,7[Nm]$$

Torsión con engranes:

Entonces, el diagrama de momento torsor del eje de queda:

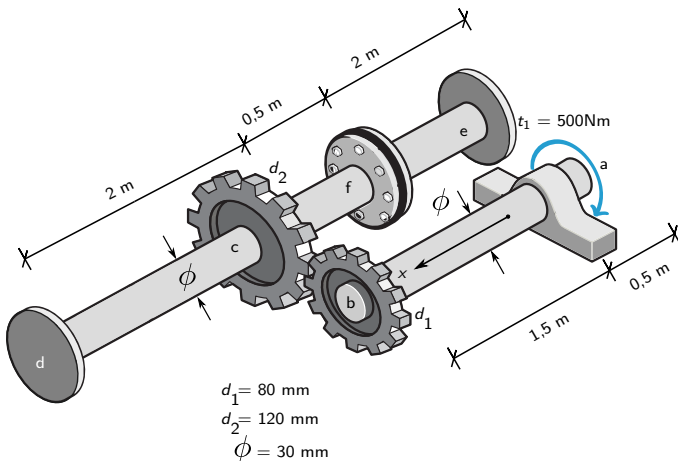


y el esfuerzo cortante máximo, considerando a t_d el mayor valor en ese eje, se tiene:

$$\tau_{max} = \frac{t_d \cdot \phi}{2 \cdot J} = 78,6 [MPa] \quad (15)$$

Torsión con engranes, doble empotramiento y bridas:

Ahora el problema cuenta con un acople de bridas en el punto f. Determine el número de pernos necesarios de 5 [mm] de diámetro a una distancia de 25 [mm] del centro de eje ce para soportar un momento torsor igual al del ejercicio anterior. Considere que el esfuerzo cortante admisible es de 60 [MPa].



Torsión con engranes, doble empotramiento y bridas:

Considerando el momento soportado por la brida igual al momento torsor t_e (ecuación 14), el número de pernos necesarios se obtiene de la forma:

$$\tau = \frac{t_e}{A_p b n} \quad (16)$$

donde n es el número de pernos, $\tau = 60$ [MPa], $b = 25$ [mm] y $A_p = \pi \cdot r^2 = 19,6$ [mm²]

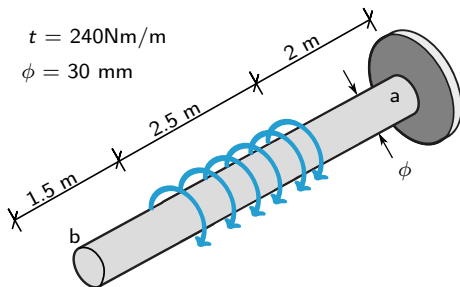
$$n = \frac{t_e}{A_p b \tau} = \frac{416667[Nmm]}{19,635[mm^2] \cdot 25[mm] \cdot 60[MPa]} = 14,15 \quad (17)$$

Por lo tanto, son necesarios aproximadamente 15 pernos para este caso en particular.

Torsión con momento distribuido:

El eje \overline{ab} ($E=200$ [GPa] y $\nu=0,27$) cuenta con un momento distribuido $t=240$ [Nm/m]. Para este ejercicio se pide:

- Realice el diagrama de momento torsor y obtenga esfuerzo de corte máximo en el eje \overline{ab} .
- Determine el ángulo de torsión $\theta_{b/a}$.



Torsión con momento distribuido:

Primero se calcula el módulo de corte y el momento de inercia, de la forma:

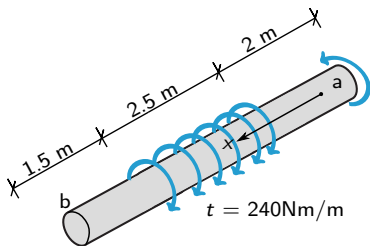
$$E = 200[\text{GPa}] \quad \nu = 0,27 \quad \rightarrow \quad G = \frac{E}{2(1 + \nu)} = 78,7[\text{GPa}] \quad (18)$$

Ahora se puede calcular la inercia polar del eje $\overline{\mathbf{ab}}$:

$$J = \frac{\pi}{32} \cdot \phi^4 = 7,95 \cdot 10^{-8}[\text{m}^4] \quad (19)$$

Torsión con momento distribuido:

Se realiza el diagrama de cuerpo libre del eje \overline{ab} :



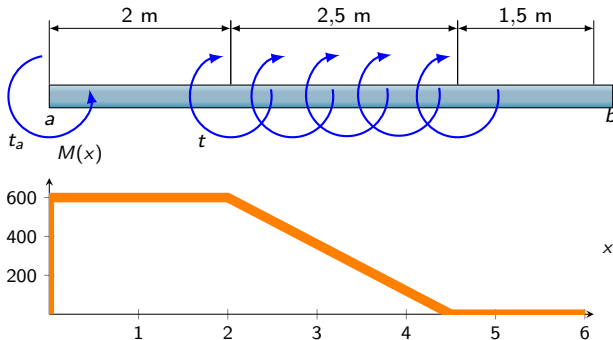
Debido a que el eje se encuentra sometido a un momento distribuido, es necesario integrar el momento distribuido en el largo de aplicación de éste, como es constante se puede simplificar y calcularlo directamente al multiplicar el valor del torsor por la distancia en que este actúa:

$$\sum M = 0 :$$

$$t_a - t \cdot 2,5 = 0 \quad \rightarrow \quad t_a = 600 [Nm] \quad (20)$$

Torsión con momento distribuido:

Entonces, el diagrama de momento torsor del eje \overline{ab} queda:



y el esfuerzo cortante máximo es:

$$\tau_{max} = \frac{t_a \cdot \phi}{2 \cdot J} = 113,2 [\text{MPa}] \quad (21)$$

Torsión con momento distribuido:

Debido a que el diagrama de momento torsor muestra una disminución lineal entre $x = 2$, $y = 600$ y $x = 4,5$, $y = 0$, es necesario utilizar una función que represente ese comportamiento para esa sección en particular. Esto queda de la forma $t_m(x) = ax + b$. Obteniendo:

$$t_m(x) = -240x + 1080 \quad (22)$$

Para determinar el ángulo de torsión $\theta_{b/a}$ se realiza una integral sobre todo el largo, debido a que el momento torsor varía en función del largo ($t(x)$) se separa en secciones conocidas, la primera una sección con momento constante (600) y la segunda con una variación lineal t_m :

$$\begin{aligned} \theta_{b/a} &= \int_0^{4,5} \frac{t(x)}{J \cdot G} dx = \int_0^2 \frac{t_a}{J \cdot G} dx + \int_2^{4,5} \frac{t_m(x)}{J \cdot G} dx = \frac{t_a \cdot 2}{J \cdot G} + \int_2^{4,5} \frac{t_m(x)}{J \cdot G} dx \\ &= \frac{600 \cdot 2}{J \cdot G} + \int_2^{4,5} \frac{-240x + 1080}{J \cdot G} dx = 0,311 \text{ rad} \end{aligned} \quad (23)$$

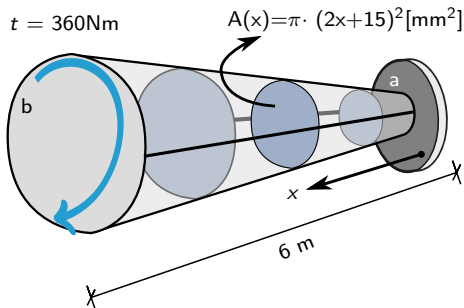
Realizando la conversión a grados:

$$\theta_{b/a} \cdot \frac{180^\circ}{\pi \text{ rad}} = 17,84^\circ \quad (24)$$

Torsión con área de sección variable:

El eje \overline{ab} ($E=200$ [GPa] y $\nu=0,27$) cuenta con una sección transversal variable de la forma $A(x)=\pi \cdot r^2=\pi \cdot (2x+15)^2$ [mm²]. Para este ejercicio se pide:

- Realice el diagrama de momento torsor y obtenga esfuerzo de corte máximo en el eje \overline{ab} .
- Determine el ángulo de torsión $\theta_{b/a}$.



Torsión con área de sección variable:

Primero se calcula el módulo de corte y el momento de inercia, de la forma:

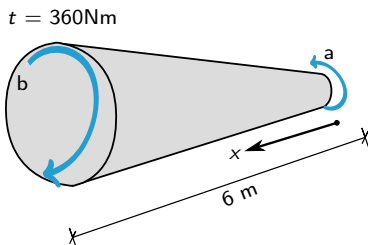
$$E = 200[\text{GPa}] \quad \nu = 0,27 \quad \rightarrow \quad G = \frac{E}{2(1 + \nu)} = 78,74[\text{GPa}] \quad (25)$$

Ahora se puede calcular la inercia polar del eje $\overline{\mathbf{ab}}$, considerando que el diámetro varía a lo largo de este:

$$J(x) = \frac{\pi}{32} \cdot \phi(x)^4 = \frac{\pi}{32} \cdot (2r(x))^4 = \frac{\pi}{32} \cdot (4x + 30)^4 [\text{mm}^4] = \frac{\pi}{32} \cdot \left(\frac{4x + 30}{1000} \right)^4 [m^4] \quad (26)$$

Torsión con área de sección variable:

Se realiza el diagrama de cuerpo libre del eje \overline{ab} :



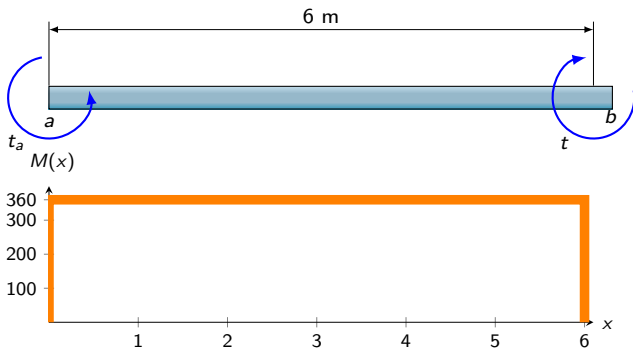
Para que el sistema esté en equilibrio, el empotramiento genera un momento torsor de la forma:

$$\sum M = 0 :$$

$$t_a - 360 = 0 \quad \rightarrow \quad t_a = 360 [Nm] \quad (27)$$

Torsión con área de sección variable:

Entonces, el diagrama de momento torsor del eje \overline{ab} queda:



El esfuerzo cortante máximo es mayor cuando el radio es menor, es decir, en el punto **a**:

$$\tau_{max} = \frac{t_a \cdot \phi(x)}{2 \cdot J(x)} = \frac{t_a \cdot 2r(x)}{2 \cdot J(x)} = \frac{t_a \cdot \frac{4x+30}{1000}}{2 \cdot \frac{\pi}{32} \cdot \left(\frac{4x+30}{1000}\right)^4} = 67,9[MPa] \quad (28)$$

Torsión con área de sección variable:

Para determinar el ángulo de torsión $\theta_{b/a}$ se realiza una integral, debido a que el radio se distribuye de forma mediante la ecuación $r(x) = 2x+15$ a lo largo del eje x , por lo tanto, el momento de inercia polar también cambia su magnitud:

$$\theta_{b/a} = \int_0^6 \frac{t}{J(x) \cdot G} dx = \int_0^6 \frac{360}{\frac{\pi}{32} \cdot \left(\frac{4x+30}{1000}\right)^4 \cdot G} dx = 0,119 \text{ rad} \quad (29)$$

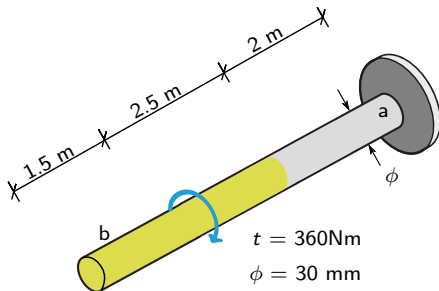
Realizando la conversión a grados:

$$\theta_{b/a} \cdot \frac{180^\circ}{\pi \text{ rad}} = 6,82^\circ \quad (30)$$

Torsión con cambio de material en el eje:

El eje \overline{ab} cuenta con un material de acero ($E=200$ [GPa] y $\nu=0,27$) los primeros dos metros, y el resto está compuesto de latón ($E=110$ [GPa] y $\nu=0,4$). Se aplica un momento torsor $t = 360$ [Nm] a $4,5$ [m] de a . Para este ejercicio se pide:

- Realice el diagrama de momento torsor y obtenga esfuerzo de corte máximo en el eje \overline{ab} .
- Determine el ángulo de torsión $\theta_{b/a}$.



Torsión con cambio de material en el eje:

Primero se calcula el módulo de corte y el momento de inercia, de la forma:

$$E_a = 200[\text{GPa}] \quad \nu_a = 0,27 \quad \rightarrow \quad G_a = \frac{E_a}{2(1 + \nu_a)} = 78,74[\text{GPa}] \quad (31)$$

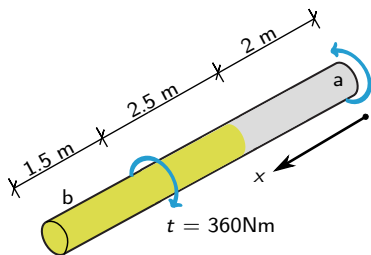
$$E_l = 110[\text{GPa}] \quad \nu_l = 0,40 \quad \rightarrow \quad G_l = \frac{E_l}{2(1 + \nu_l)} = 39,29[\text{GPa}]$$

Ahora se puede calcular la inercia polar del eje $\overline{\mathbf{ab}}$:

$$J = \frac{\pi}{32} \cdot \phi^4 = 7,95 \cdot 10^{-8}[\text{m}^4] \quad (32)$$

Torsión con cambio de material en el eje:

Se realiza el diagrama de cuerpo libre del eje \overline{ab} :



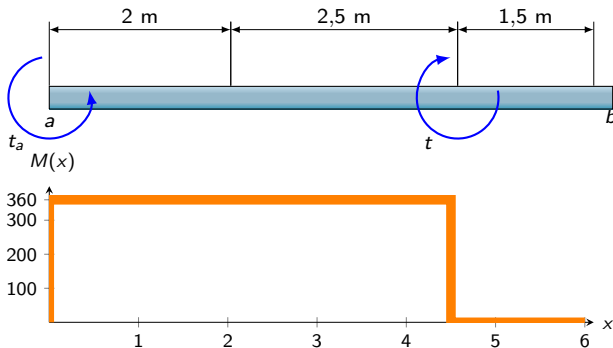
Para que el sistema esté en equilibrio, el empotramiento genera un momento torsor de la forma:

$$\sum M = 0 :$$

$$t_a - 360 = 0 \quad \rightarrow \quad t_a = 360 [Nm] \quad (33)$$

Torsión con cambio de material en el eje:

Entonces, el diagrama de momento torsor del eje \overline{ab} queda:



y el esfuerzo cortante máximo es:

$$\tau_{max} = \frac{t_a \cdot \phi}{2 \cdot J} = 67,91 [MPa] \quad (34)$$

Torsión con cambio de material en el eje:

Para determinar el ángulo de torsión $\theta_{b/a}$ se separa la integral en los puntos de cambio de material, debido a que el módulo de corte es distinto para el acero y latón (ecuación 31):

$$\theta_{b/a} = \int_0^{4,5} \frac{t_a}{J \cdot G(x)} dx = \int_0^2 \frac{t_a}{J \cdot G_a} dx + \int_2^{4,5} \frac{t_a}{J \cdot G_l} dx = \frac{t_a \cdot 2}{J \cdot G_a} + \frac{t_a \cdot 2,5}{J \cdot G_l} = 0,403 \text{ rad} \quad (35)$$

Realizando la conversión a grados:

$$\theta_{b/a} \cdot \frac{180^\circ}{\pi \text{ rad}} = 23,09^\circ \quad (36)$$



DEPARTAMENTO DE
**INGENIERÍA
MECÁNICA**
UNIVERSIDAD DE SANTIAGO DE CHILE

Resistencia de materiales

Torsión

Matías Pacheco Alarcón & Estefano Muñoz Moya

Universidad de Santiago de Chile
Facultad de Ingeniería - Departamento de Ingeniería Mecánica
Av. Bdo. O'Higgins 3363 - Santiago - Chile
e-mail: matias.pacheco@usach.cl & estefano.munoz@usach.cl

INGENIERÍA MECÁNICA
4 de diciembre de 2020